

大阪市立大学 正員 中井 博 大阪市立大学 正員 北田俊行  
三井造船㈱ 正員 祝 賢治 大阪市立大学 学生員○松村泰行

**1.まえがき** 本研究では、まず開口部を有する補剛板の圧縮耐荷力に影響する各種設計パラメータの分布特性を明らかにする<sup>1)</sup>。つぎに、弾塑性有限変位解析にもとづいたパラメトリック解析を行い、各パラメータが開口部を有する補剛板の圧縮耐荷力に及ぼす影響を調べる<sup>2)</sup>。さらに、開口部を有する補剛板の圧縮耐荷力の一算定式を提案する。

2. 着目パラメータと実橋脚における分布範囲 表-1には、開口部を有する補剛板の圧縮耐荷力に影響を及ぼす着目パラメータ、および、その主要な分布範囲を示す。また、同表には、着目パラメータと以下に述べているパラメトリック解析で用いる解析シリーズ、および解析モデル（後述の図-2参照）との関係をも示している。なお、図-1には、各種パラメータの分布範囲の一例として、開口長と開口パネル長と

表-1 着目パラメータ、および主要な分布範囲

シリーズ* ( 解析モデル )	着目パラメータ	主要な分布範囲
S-1 (1)	開口幅と開口ハ"ネルの幅との比 $b_{\text{H}}/b$	$0.35 < b_{\text{H}}/b \leq 0.5$
S-2 (3)	開口幅と縦補剛材間隔との比 $b_{\text{H}}/b_{\text{P}}$	$0.7 < b_{\text{H}}/b_{\text{P}} \leq 1.0$
S-3 (1)	開口長と開口ハ"ネル長との比 $a_{\text{H}}/a$	$0.2 < a_{\text{H}}/a \leq 0.5$
S-4 (1)	縦補剛材の切断率 $a_c/a$	$0.2 < a_c/a \leq 0.5$
S-5 (2)	開口位置の幅方向の偏心量 $e/b/2$	$0 \leq e/b/2 \leq 0.5$
S-6 (2)	開口位置の長さ方向の偏心量 $f/a/2$	$0 \leq f/a/2 \leq 0.4$
S-7 (3)	タ"ブ"リンク"板の板厚比 $t_d/t$	$0.9 < t_d/t \leq 1.6$
S-8 (3)	タ"ブ"リンク"板の板幅比 $b_d/b_{\text{H}}/2$	$0.9 < b_d/b_{\text{H}}/2 \leq 1.5$
S-9 (1)	補剛板の板厚比 $t/t_{re}$	$0.6 < t/t_{re} \leq 1.6$
S-10 (1)	補剛材の剛比 $\gamma/\gamma^*$	$0.2 < \gamma/\gamma^* \leq 1.8$
S-11 (2)	初期たわみの波形と大きさ	
S-12 (1)	残留応力の有無	

の比  $a_{\text{II}}/a$  の分布を示す。この図によると  $0.2 < a_{\text{II}}/a \leq 0.5$  の範囲のものが約 87 % を占めることがわかる。

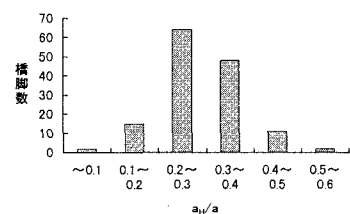
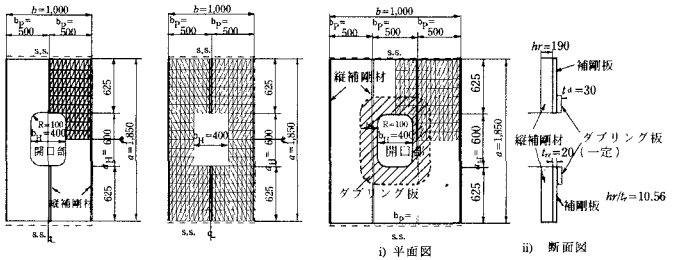


図-1 開口長と開口パネル長との  
比  $a_u/a$  の分布範囲

### 3. 耐荷力のパラメトリック解析

Hiroshi NAKAI, Toshiyuki KITADA, Yoshiharu IWAI and Hiroyuki MATSUMURA



(a) 解析モ<sup>デ</sup>ル 1 (b) 解析モ<sup>デ</sup>ル 2 (c) 解析モ<sup>デ</sup>ル 3

図-2 設定した3つの解析モデル(寸法単位:mm)

の関係を示す。まず、図-3によると、 $a_{\text{H}}/a$ が増大すれば、最大荷重後の耐荷力の低下が顕著になる。つぎに、図-4によると、 $a_{\text{H}}/a$ が増大すれば、終局強度は、わずかであるが線形的に減少することがわかる。

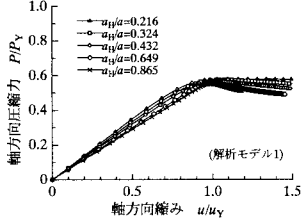


図-3 荷重-締み曲線(シリーズ S-3)

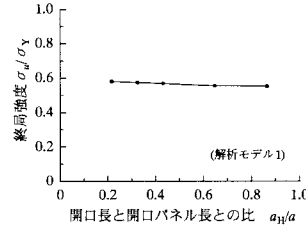


図-4 終局強度と開口長の開口パネル長に対する比との関係

4. 開口部を有する圧縮補剛板の耐荷力の算定式 本研究においては、実際の設計への適用を主目的として、図-5に示すように、2つのタイプの開口部を有する圧縮補剛板の耐荷力について検討した。ここで、同図(a)は、開口部を設け補強しない構造である。そして、同図(b)は、従来どおりの方法でダブリング板により補強を行った開口パネルを有する構造である。また、幅厚比パラメータ  $R_p$  を 0.73, 0.52, および 0.30 に変化させて行った弾塑性有限変位解析により得られた開口率  $b_{\text{H}}/2b_p$  と終局強度  $\sigma_u/\sigma_y$  の関係を、図-6に示す。ただし、 $R_p$  は、 $\sqrt{\sigma_y/\sigma_{\text{crp}}}$  ( $\sigma_{\text{crp}}$ :開口部のない縦補剛材間の板パネルの弹性座屈応力度) によっている。

そこで、最小2乗法によって、終局強度と幅厚比パラメータとの関係を、 $0.2 \leq b_{\text{H}}/2b_p \leq 0.5$  の適用範囲で、それぞれ直線式で近似してみた。

その結果、無補強の開口パネル(幅  $2b_p$  の補剛板パネル)の終局強度  $\sigma_{u0}$  の推定式としては、次式が得られた。

$$\begin{aligned} \sigma_{u0}/\sigma_y &= -0.225(b_{\text{H}}/2b_p) + 0.560, \quad (0.52 < R_p \leq 0.73) \\ &= -0.451(b_{\text{H}}/2b_p) + 0.705, \quad (0.30 < R_p \leq 0.52) \\ &= -0.743(b_{\text{H}}/2b_p) + 0.872, \quad (R_p \leq 0.30) \end{aligned} \quad (1) \text{a} \sim \text{c}$$

また、従来の方法でダブルング板によって補強された開口パネルの終局強度  $\sigma_{uh0}$  の推定式としては、次式が得られた。

$$\begin{aligned} \sigma_{uh0}/\sigma_y &= 0.132(b_{\text{H}}/2b_p) + 0.745, \quad (0.52 < R_p \leq 0.73) \\ &= -0.032(b_{\text{H}}/2b_p) + 0.865, \quad (0.30 < R_p \leq 0.52) \\ &= -0.127(b_{\text{H}}/2b_p) + 0.911, \quad (R_p \leq 0.30) \end{aligned} \quad (2) \text{a} \sim \text{c}$$

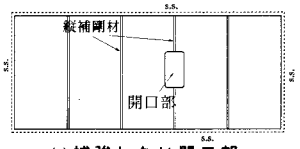
## 5.まとめ

本研究で得られた結論を要約すると、以下のとおりである。

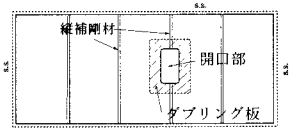
- (1) 開口部を有する補剛板の圧縮耐荷力に及ぼすパラメータと、実鋼製橋脚における分布範囲とを明らかにした。
- (2) 開口部を有する補剛板の圧縮耐荷力に及ぼすパラメータと終局強度との関係を、弾塑性有限変位解析によって明らかにした。
- (3) 開口部を有する補剛板パネルの耐荷力の一算定式を、提案した。

## 参考文献

- 1) 中井 博・北田俊行・鈴木 巍・堀江佳平・祝 賢治：開口部を有する圧縮補剛板の実績調査、橋梁と基礎、Vol.30, No.9, pp.31-38, 1996年9月。
- 2) 中井 博・北田俊行・祝 賢治：開口部を有する補剛板の終局圧縮強度に関するパラメトリック解析、鋼構造年次論文報告集、Vol.5, 日本鋼構造協会, pp.231-238, 1997年11月。



(a) 補強しない開口部



(b) ダブルング板で補強した開口部

図-5 検討の対象とした開口部を有する補剛板

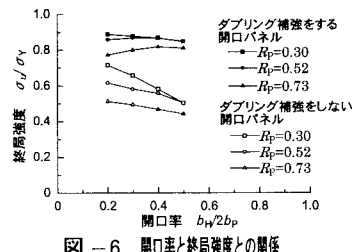


図-6 開口率と終局強度との関係